

# جایگاه تکتونوماگمایی و دما- فشارسنجی گدازه‌های حدواسط پالئوژن گنجین براساس کانی کلینوپیروکسن، شاهدی بر ماگماتیسم جنوب طارم (آذربایجان شرقی)

منیره خیرخواه<sup>\*</sup>!<sup>1</sup> محمد مبشر گرمی<sup>1</sup>

۱-پژوهشکده علوم زمین، سازمان زمین‌شناسی و اکتشافاتمعدنی کشور، تهران، ایران

(پژوهشی)

پذیرش مقاله: ۱۴۰۰/۲/۵ تأیید نهایی مقاله: ۱۴۰۰/۱۱/۲۳

## چکیده

تکاپوی آتشفسانی پالئوژن در زون ماگمایی البرزگری-آذربایجان از گسترش پراکنده‌ای برخوردار است. در این پژوهش تراکی آندزیت‌های گنجین در جنوب طارم مورد بررسی قرار گرفته‌اند. پلاژیوکلاز، کلینوپیروکسن، آمفیبول از مهم‌ترین کانی‌های این گدازه‌های حدواسط با بافت هیالوپورفیریک و میکرولیتیک پورفیریک می‌باشند. کلینوپیروکسن‌های منطقه، در مطالعات شیمی کانی، ترکیب دیوپسیدی ( $WO_{43-51}$ ,  $En_{39-47}$ ,  $Fs_{9-11}$ ) را نشان می‌دهند و در گستره کلینوپیروکسن‌های کلسیم، منیزیم و آهن‌دار و آلمینو‌دیوپسید قرار می‌گیرند. طیف عدد منیزیم ( $Mg\#: =74$  تا  $=67$ ٪) کلینوپیروکسن‌ها، یک ماگمای والد کم سیلیس برای منشا تراکی آندزیت‌های این منطقه نشان می‌دهد. الگوهای منطقه‌بندی عادی این کانی‌ها نشان می‌دهد که فرایند تفریق در تکامل این سنگ‌ها عاملی مؤثر بوده است. برآوردهای زمین-دما فشارسنجی این کانی‌ها، گستره دمایی ۱۲۰۰ تا  $(\pm 50)$  درجه سانتی‌گراد، فشار  $5/4$  تا  $6/2$  کیلوبار در ژرفای ۱۹ تا ۲۱ کیلومتری را در تبلور این کانی مشخص می‌نماید. گریزندگی بالای اکسیژن (2/5-10%) دیوپسیدها، وابستگی ماگماهای والد این سنگ‌ها را به جایگاه محیط تکتونیکی کمان پس از تصادم پیشنهاد می‌کند.

**واژه‌های کلیدی:** تراکی آندزیت، دما- فشارسنجی، شیمی کانی، کلینوپیروکسن، گنجین، طارم.

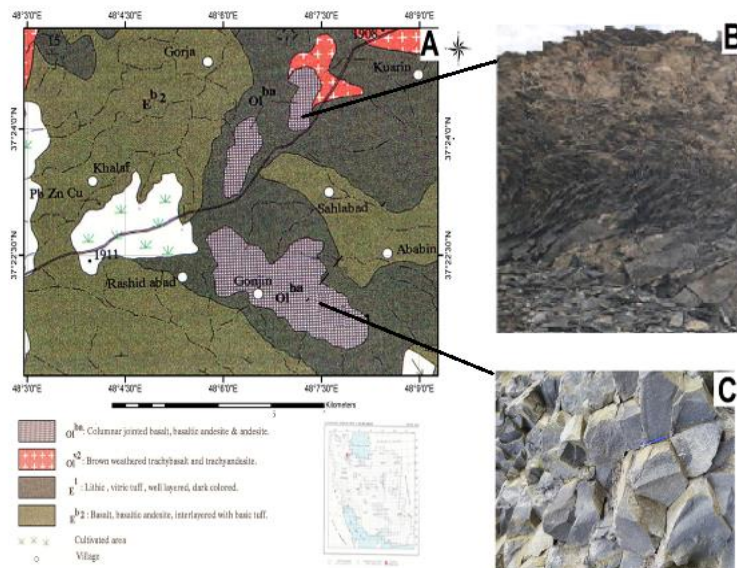
### منطقه مورد مطالعه

#### زمین‌شناسی منطقه

ناهمسانی رسویی و زمین ساختی فلات ایران، سبب پیچیدگی‌های الگوی ساختاری، تحولات زمین‌ساختی و شرایط رسویی این سرزمین در طی دوره‌های مختلف شده است. براساس تقسیم‌بندی واحدهای زمین‌ساختی (نبوی، ۱۳۵۵)، منطقه مورد مطالعه جزء زون البرز غربی-آذربایجان می‌باشد. در بخش شمال‌غرب زون ماقمایی البرز غربی-آذربایجان که به عنوان کمربند آتشفشنای نفوذی طارم شناخته شده، طیفی از سنگ‌های آتشفسنایی و آذرین درونی ائوسن-الیگوسن رخنمون یافته‌اند. منطقه گنجین در جنوب طارم، بخش شمال باختری ورقه ۱:۱۰۰۰۰ هشت‌جین، مابین طول‌های جغرافیایی  $48^{\circ} 48'$  و  $48^{\circ} 15^{\circ}$  شرقی و عرض‌های جغرافیایی  $37^{\circ} 37'$  و  $37^{\circ} 50^{\circ}$  شمالی واقع شده است. این منطقه بخشی از کمربند آتشفسنایی-نفوذی طارم است که شامل گدازه‌های آتشفسنایی بازیک (واحد OI<sup>ba</sup>) در شمال روستای سهل‌آباد، منطقه گنجین از توابع استان آذربایجان شرقی می‌باشد. گسل‌های منطقه در راهیابی ماقمایی والد این گدازه‌ها به سطح زمین نقش اساسی داشته‌اند. در منطقه مورد مطالعه، تراکی آندزیت‌های منطقه با ذوب منشوری، رنگ خاکستری و ساخت ستونی و خرد شده با زاویه شیب ۲۰ تا ۳۰ درجه، بر روی نهشته‌های سازند کرج (Eb<sub>1</sub>) قرار گرفته‌اند (شکل ۱) که در برخی مناطق، ساختارهای منشوری چین‌خورده را نشان می‌دهند (شکل ۱B). ضخامت منشورها حداقل ۳۰ سانتی‌متر است (شکل ۱C).

### مقدمه

تکاپوی آتشفسنایی کمانی از پالئوزن در امتداد حاشیه شمالی نئوتیس در سرتاسر ایران، غالب بوده است ترکیب شیمیایی سنگ‌های آتشفسنای کمربند ماقمایی ارومیه-دختر و رشته‌کوه‌های البرز در پالئوزن دارای ویژگی‌های کمان ماقمایی قاره‌ای پس از برخورد، در محیط‌های کششی می‌باشند (Verdel, 2011). ماقماتیسم گستردگی در آذربایجان از کرتاسه پایانی آغاز شده و در طی ائوسن و الیگوسن توسعه یافته و همچنان فعال است چنان‌که فرورانش نئوتیس به زیر صفحه اوراسیا از اوایل ۱۷۵ میلیون سال ادامه داشته است (Verdel, 2011)، به‌ویژه در منطقه تالش که توالی‌های رسویی-آتشفسنایی ترشیری نماینده گذاری از ائوسن پایانی به الیگوسن می‌باشند (Vincent et al, 2005). زمان بسته‌شدنی نئوتیس و برخورد قاره به قاره را در الیگوسن پایانی تا میوسن پیشنهاد کرده‌اند. در این پژوهش، شیمی کانی کلینوپیروکسن‌های گدازه‌های بازیک جنوب طارم در منطقه گنجین و بخش شمال باختری ورقه ۱:۱۰۰۰۰ هشت‌جین (فریدی و انوری، ۱۳۷۹)، بررسی شده و تلاش شده است که با استفاده از ریزپردازشگر الکترونی (EMPA)، خاستگاه ماقمایی و شرایط فیزیکوشیمیایی تبلور (زمین-دماسنجی، گریزندگی اکسیژن و جایگاه تکتونیکی) گدازه‌های تراکی آندزیتی واحد OI<sup>ba</sup> شمال ورقه هشت‌جین، بر پایه شیمی کانی کلینوپیروکسن‌های موجود در این سنگ‌ها مشخص گردد.



شکل ۱: (A) منطقه گنجین در بخش شمال غربی ورقه ساده شده ۱:۱۰۰۰۰۰ هشتگین اقتباس از فریدی و انوری (۱۳۷۹). (B) منشورهای چین خورده تراکی آندزیتی شمال سهل آباد. (C) نمایی از تراکی آندزیت‌های منشوری منطقه گنجین.

از نرم افزارهای رایانه‌ای AX و به ترسیم نمودارهای موردنظر انجامیده است. مقادیر به دست آمده از تجزیه به صورت اکسیدی بوده که مقادیر اتم هر اکسید در فرمول کانی کلینوپیروکسن بر حسب ۶ اتم اکسیژن، پلازیوکلاز بر حسب ۸ اتم اکسیژن و کانی تیره به روش (Droop, 1987) به دست آمد. محاسبه مقادیر  $\text{Fe}^{2+}$  و  $\text{Fe}^{3+}$  با استفاده از برنامه‌های رایانه‌ای بر پایه روش (Papike et al, 1974) شده است.

### سنگ‌نگاری

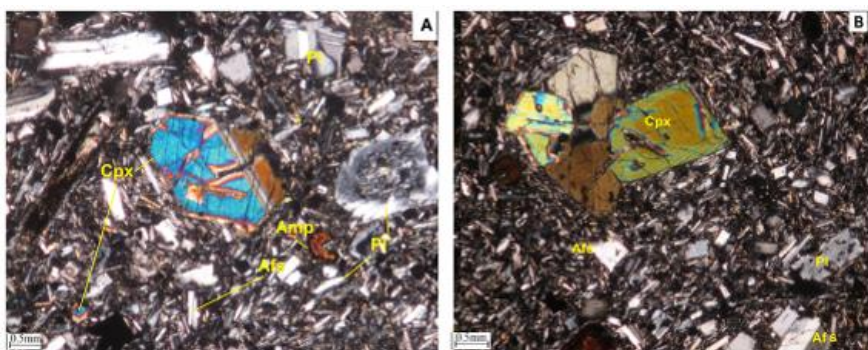
سنگ‌های آتشفشاری ناحیه گنجین از نظر ترکیب شیمیایی در گروه سنگ‌های نسبتاً بازیک (تراکی آندزیت-تراکیت) قرار دارند. بافت غالب در این سنگ‌ها هیالومیکرولیتی پورفیریک، میکرولیتی پورفیریک و گلومروپورفیری است. با مطالعات کانی‌شناسی گدازه‌های منطقه، فنوکریست‌های عمده این سنگ‌ها شامل، پلازیوکلاز، کلینوپیروکسن، آمفیبول می‌باشند که در خمیره‌ای شیشه‌ای و ریزلولور متتشکل از کانی‌های مافیک

### مواد و روش‌ها

پس از مطالعات میکروسکوپی نمونه‌های مناسب، تعدادی مقاطع نازک انتخاب و صیقل داده شدند و برای بررسی دقیق‌تر ترکیب شیمیایی کانی‌های گدازه‌های تراکی آندزیتی، نمونه‌ها به مرکز تحقیقات فرآوری مواد معدنی ایران ارسال گردید. در این مرکز کانی‌های انتخابی با دستگاه ریزپردازنده الکترونی مدل Cameca SX 100 مورد آنالیز نقطه‌ای قرار گرفته‌اند. این دستگاه مجهر به اسپکترومتر با گیرنده دیود الکترونی می‌باشد که به صورت خودکار بر پایه دقت بالای ۱٪ و عملکرد همزمان چند دتکتور دیودی و پایداری اشعه الکترونی با پوشش کربن کار می‌کند. تجزیه بر روی کانی‌های موردنظر با شرایط ولتاژ ۱۵ Kev، فشار ۲/۵ میکرومتر انجام شده است. فرآیند کالیبره شدن دستگاه نیز بر مبنای  $\text{Al/Cr}_{\text{N}}$ ,  $\text{Si/Wo}$ ,  $\text{Ca/Wo}$ ,  $\text{Na/Ab}$ ,  $\text{K/Or}$ ,  $\text{Mn/MnSiO}_3$ ,  $\text{Fe/Hm}$ ,  $\text{Mg/Per}$ ,  $\text{Ti/Rt}$

بلورهای، نیمه شکل دار با ماکل دوتایی و منطقه-بندی و گاه با تجمعات گلومرولکریستی و عمدتاً فقد دگرسانی (شکل ۲B) و آمفیبیول‌های قهوه‌ای (اکسی هورنبلند) با حواشی کاملاً سوخته و ایدنگسیتی شده (شکل ۲A) در این سنگ‌ها حضور دارند، در خمیره، میکاهای سوزنی و کانی‌های تیره و اکسیدهای فلزی قابل مشاهده هستند. خمیره بافت وزیکولار داشته و حفره‌ها غالباً با کانی‌های ثانوی (زئولیت) پر شده‌اند.

(پیروکسن، آمفیبیول و بیوتیت) و فلسیک (فلدسبار) همراه با اکسیدهای Fe-Ti قرار دارند (شکل ۲A,B). پلازیوکلازهای کلسیک با حواشی خورده شده و بافت غربالی دیده می‌شوند (شکل ۲A) که می‌توان تغییرات فشار و عدم تعادل شیمیابی در حین خروج گدازه‌ها را علت آن دانست. آلکالی فلدسبارهای پتانسیک (سانیدین) به صورت بلورهای خودشکل و ریزبلور در خمیره پراکنده‌اند. درشت



شکل ۲: تصاویر میکروسکوپی از آندزیت‌های گنجین (A) کلینوپیروکسن با دوقلویی و پلازیوکلاز با بافت غربالی در خمیره‌ای از میکرولیت‌های فلدسبار و آمفیبیول ایدنگسیتی شده و کانی‌های تیره (B) پیروکسن با بافت گلومرولکریست در خمیره هیالو میکرولیتیک پورفیری. علامت اختصاری کانی‌ها (Cpx: کلینوپیروکسن، Amp: آمفیبیول، Pl: پلازیوکلاز، Afs: آلالی فلدسبار) از (Whitney and Evans, 2010).

بلورهای نسل اول شامل درشت بلورهای پلازیوکلاز با ترکیب کلسیک و حواشی خورده شده و بافت غربالی و پیروکسن‌های با ماکل دوتایی و آمفیبیول می‌باشند که در عمق شکل گرفته‌اند و بلورهای نسل دوم که در حین سردشدن سریع گدازه‌ها در سطح زمین و یا در نزدیکی سطح شکل گرفته‌اند، شامل فلدسبارهای میکرولیتی و ریزبلورهای کانی‌های مافیک به‌ویژه آمفیبیول با حاشیه سوخته و بیوتیت می‌باشند.

### پلازیوکلاز

تشکیل بافت غربالی در پلازیوکلازها بنا بر تحقیقات (Nelson and Montana, 1992) می‌تواند به سبب کاهش ناگهانی فشار در محیطی تحت اشباع از

### بحث و نتایج

سنگ‌های آذرین، از تبلور ماقما با برهم‌کنش پیچیده هسته‌زایی بلور و رشد آن، تکامل می‌یابند. بررسی‌های سنگ‌شناختی و شیمی کل نمونه‌های برداشت‌شده از گدازه‌های واحد  $OI^{ba}$  منطقه گنجین، ترکیبی حدواسط (تراکی آندزیت-تراکیت) را نشان می‌دهد. با مطالعات سنگ‌شناختی چنین استنباط می‌شود که ماقما اولیه بازیک منطقه، ضمن خروج تحت تأثیر غنی‌شدنی از سیالات گازی و ذوب‌شدنی پوسته قاره‌ای، تحول یافته و پس از فوران تشکیل سنگ‌های تراکی آندزیتی را داده است که سردشدنی‌های متفاوت بلورها، سبب تشکیل دو نسل بلور در این سنگ‌ها شده است.

$5/0.5$ )  $\text{Na}_2\text{O}$ ،  $(53/18 - 11/69)$   $\text{CaO}$ ،  $(54/12 - 12/54)$  و  $(5/38 - 5/38)$  می‌باشد. همچنین درصد مؤلفه آنورتیت در پلازیوکلازها از  $\text{An}_{53}$  تا  $\text{An}_{56}$  متغیر است که در نمودار (Deer et al, 1992)، ترکیب لاپرادوریتی را نشان می‌دهند.

$\text{H}_2\text{O}$  و در حین صعود مagma سازنده، از عمق به سطح زمین وقوع یابد. کانی‌های پلازیوکلاز انتخاب شده، برای انجام آنالیزهای الکترومیکروپرورب، قادر هرگونه حاشیه و اکنشی بوده‌اند. در مطالعات شیمی این کانی‌ها مشخص شد که درصد وزنی اکسیدهای اصلی این کانی‌ها در محدوده  $\text{SiO}_2$   $51/0.6 - 51/0.6$

جدول ۱: نتایج تجزیه ریزکاو الکترونی کانی پلازیوکلاز تراکی آندزیت‌های جنوب طارم بر حسب هشت اتم اکسیژن

	Core	Core	Core	Core	Core
$\text{SiO}_2$	$52/55$	$51/21$	$52/66$	$52/0.6$	$53/18$
$\text{TiO}_2$	$0/0.5$	$0/0.0$	$0/0.0$	$0/0.4$	$0/0.2$
$\text{Al}_2\text{O}_3$	$29/53$	$30/66$	$29/0.4$	$30/11$	$29/0.3$
$\text{FeO}$	$0/45$	$0/51$	$0/49$	$0/51$	$0/65$
$\text{MnO}$	$0/0.0$	$0/0.2$	$0/0.0$	$0/0.0$	$0/0.0$
$\text{MgO}$	$0/0.6$	$0/0.5$	$0/0.5$	$0/0.6$	$0/0.4$
$\text{CaO}$	$11/69$	$12/54$	$12/37$	$12/34$	$12/22$
$\text{Na}_2\text{O}$	$5/38$	$5/15$	$5/0.5$	$5/0.5$	$5/14$
$\text{K}_2\text{O}$	$0/41$	$0/41$	$0/41$	$0/49$	$0/41$
Total	$100/12$	$100/55$	$100/0.7$	$100/67$	$100/59$
Si	$2/39$	$2/33$	$2/40$	$2/36$	$2/41$
Al	$1/58$	$1/64$	$1/56$	$1/61$	$1/55$
Ti	$0/0.0$	$0/0.0$	$0/0.0$	$0/0.0$	$0/0.0$
Fe	$0/0.2$	$0/0.2$	$0/0.2$	$0/0.2$	$0/0.2$
Mn	$0/0.0$	$0/0.0$	$0/0.0$	$0/0.0$	$0/0.0$
Mg	$0/0.0$	$0/0.0$	$0/0.0$	$0/0.0$	$0/0.0$
Ca	$0/57$	$0/61$	$0/60$	$0/60$	$0/59$
Na	$0/47$	$0/45$	$0/45$	$0/44$	$0/45$
K	$0/0.2$	$0/0.2$	$0/0.2$	$0/0.3$	$0/0.2$
Total	$5/0.7$	$5/0.9$	$5/0.6$	$5/0.7$	$5/0.5$
Or	$2/23$	$2/18$	$2/22$	$2/46$	$2/22$
Ab	$44/43$	$40/70$	$41/55$	$41/42$	$42/26$
An	$53/35$	$56/11$	$56/24$	$55/93$	$55/52$

(Deer et al, 1992)، و از آنجایی که عدد منیزیم ( $\text{Mg}\#$ ) کلینوپیروکسن‌های مورد مطالعه، در گستره  $67/74\%$  تا  $74/74\%$  قرار دارند، بنابراین تفriق مagma‌ی عامل مؤثری در تکوین این سنگ‌ها به حساب می‌آید. در نمودار (Deer et al, 1992) جهت تعیین ترکیب شیمیایی پیروکسن‌ها، با توجه درصد مولی  $\text{Fs}$  در محدوده  $0.09 - 0.11$  درصد،  $\text{En}$  در محدوده  $0.39 - 0.47$  درصد و

### پیروکسن

بر پایه جدول ۲، پیروکسن‌های مورد مطالعه از اکسیدهای  $\text{CaO}$   $(85/52 - 47/89)$ ،  $\text{SiO}_2$   $(23/52 - 21/21)$ ،  $\text{MgO}$   $(16/74 - 11/69)$ ،  $\text{K}_2\text{O}$   $(0/0.0 - 91/47)$ ،  $\text{Na}_2\text{O}$   $(10/0.0 - 0.6/32)$ ،  $\text{TiO}_2$   $(0/0.0 - 0/0.8)$  تشکیل شده‌اند و عموماً ترکیبی کلسیکی دارند. با توجه به اینکه کلینوپیروکسن‌هایی که عدد منیزیم آن‌ها کمتر از  $86\%$  باشند، ناشی از تفriق magma‌ی می‌باشند (Lebas, 1962; ;

کانی‌ها را به ماقمای اولیه نشان می‌دهد. نمونه‌های پیروکسن‌های مورد مطالعه در نمودار Q در برابر J (Morimoto et al, 1988), به ترتیب با، مقادیر Q از ۱/۶۸ تا ۱/۹۸ درصد و مقادیر J از ۰/۰۷ تا ۰/۱۳ درصد، شاهدی بر قرارگیری Mg و Fe این کانی در محدوده پیروکسن‌های و Ca است (شکل ۳C). در نمودار تقسیم‌بندی Fe<sup>3+</sup> (Morimoto et al, 1988) این کانی در محدوده دیوپسیدهای کانی‌ها را در محدوده آلومینیومدار قرار می‌دهد (شکل ۳D).

Wo در محدوده ۰.۴۳ تا ۰.۵۱ درصد، کلینوپیروکسن‌های مورد مطالعه در گستره ترکیبی دیوپسید قرار دارند (شکل ۲B). تغییرات تعداد اتم Al<sub>Total</sub> در ساختار کانی‌های مورد تجزیه از ۰/۰۴ تا ۰/۰۲۸ اتم متغیر است و ترکیب ساختاری غنی از آلومینیوم و کلسیم را در محدوده Ca-Tschermark's (CATS) نشان Papike et al, 1974; Berger et al, (2005) می‌دهند. در ساختار کلینوپیروکسن‌های مورد مطالعه، مقادیر اتم های تیتانیم (Ti) و سدیم (Na) به ترتیب در محدوده‌های ۰/۰۱ تا ۰/۰۳ درصد و ۰/۰۳ تا ۰/۰۷ درصد، وابستگی این

جدول ۲: نتایج تجزیه ریزکاو الکترونی کلینوپیروکسن در تراکی آندزیت‌های جنوب طارم براساس شش اتم اکسیژن.

	Min1				Min2				Min3	Min4	Min5	Min6	Min7
	Core(1)	→	→	Rim	Core(2)	→	Rim	Core	Core	Core	Core	Core	Core
SiO <sub>2</sub>	۴۹/۹۲	۴۸/۴۷	۴۷/۸۹	۵۰/۱۹	۵۱/۸۵	۵۱/۰۵	۵۲/۸۵	۵۱/۷۰	۵۲/۶۷	۵۱/۹۷	۵۲/۷۶	۵۲/۵۱	
TiO <sub>2</sub>	۰/۷۷	۰/۹۵	۱/۰۶	۰/۵۷	۰/۳۲	۰/۳۶	۰/۰۱	۰/۴۷	۰/۵۱	۰/۴۵	۰/۷۹	۰/۵۲	
Al <sub>2</sub> O <sub>3</sub>	۴/۶۸	۵/۹۴	۶/۲۲	۳/۴۱	۱/۰۳	۱/۰۰	۱/۲۰	۱/۳۶	۱/۵۳	۱/۴۱	۲/۱۴	۶/۲۳	
Cr <sub>2</sub> O <sub>3</sub>	۰/۰۰	۰/۰۰	۰/۰۰	۰/۰۰	۰/۰۰	۰/۰۰	۰/۰۰	۰/۰۰	۰/۰۰	۰/۰۰	۰/۰۰	۰/۰۱	
FeO	۵/۲۳	۴/۸۶	۵/۲۶	۶/۴۴	۵/۹۲	۶/۱۱	۵/۴۳	۵/۸۴	۵/۷۰	۶/۲۹	۶/۰۷	۵/۴۱	
Fe <sub>2</sub> O <sub>3</sub>	۲/۲۷	۲/۴۵	۲/۵۶	۲/۰۷	۱/۸۲	۱/۸۶	۲/۰۱	۱/۹۷	۲/۰۱	۱/۹۵	۲/۲۹	۰/۰۲	
MnO	۰/۱۲	۰/۱۳	۰/۱۶	۰/۳۶	۰/۳۸	۰/۳۹	۰/۳۹	۰/۳۰	۰/۳۳	۰/۳۶	۰/۲۵	۰/۱۱	
MgO	۱۳/۰۹	۱۳/۰۰	۱۳/۷۶	۱۳/۳۳	۱۶/۳۴	۱۶/۰۷	۱۵/۷۵	۱۶/۱۵	۱۶/۲۲	۱۶/۳۶	۱۶/۷۴	۱۱/۶۹	
CaO	۲۲/۰۶	۲۲/۲۳	۲۱/۲۱	۲۱/۵۴	۲۲/۵۹	۲۲/۵۲	۲۱/۹۲	۲۱/۹۶	۲۱/۴۱	۲۱/۲۳	۲۱/۲۸	۲۱/۳۸	
Na <sub>2</sub> O	۰/۰۵	۰/۰۳	۰/۰۸	۰/۰۶	۰/۰۵	۰/۰۳	۰/۴۸	۰/۰۶	۰/۴۷	۰/۰۹	۰/۶۹	۹/۱۰	
K <sub>2</sub> O	۰/۰۰	۰/۰۰	۰/۰۰	۰/۰۰	۰/۰۰	۰/۰۰	۰/۰۰	۰/۰۰	۰/۰۰	۰/۰۴	۰/۰۰	۰/۰۸	
Total	۹۸/۶۶	۹۸/۵۶	۸۹/۷۰	۹۸/۷۱	۱۰۰/۸۰	۱۰۰/۸۹	۱۰۰/۵۴	۱۰۰/۳۵	۱۰۰/۹۴	۱۰۰/۶۵	۱۰۰/۱۰۱	۹۸/۹۷	
Si	۱/۸۸	۱/۸۲	۱/۷۹	۱/۹۰	۱/۸۹	۱/۸۶	۱/۹۴	۱/۹۰	۱/۹۳	۱/۹۰	۱/۸۵	۱/۸۹	
Ti	۰/۰۲	۰/۰۳	۰/۰۲	۰/۰۱	۰/۰۱	۰/۰۱	۰/۰۱	۰/۰۱	۰/۰۱	۰/۰۱	۰/۰۲	۰/۰۱	
Al	۰/۲۱	۰/۲۶	۰/۲۷	۰/۱۵	۰/۰۴	۰/۰۴	۰/۰۶	۰/۰۶	۰/۰۷	۰/۰۶	۰/۰۹	۰/۲۸	
Cr	۰/۰۰	۰/۰۰	۰/۰۰	۰/۰۰	۰/۰۰	۰/۰۰	۰/۰۰	۰/۰۰	۰/۰۰	۰/۰۰	۰/۰۰	۰/۰۰	
Fe <sup>3+</sup>	۰/۰۶	۰/۰۷	۰/۰۷	۰/۰۶	۰/۰۵	۰/۰۵	۰/۰۶	۰/۰۵	۰/۰۶	۰/۰۵	۰/۰۶	۰/۰۶	
Fe <sup>2+</sup>	۰/۱۶	۰/۱۵	۰/۱۶	۰/۲۰	۰/۱۸	۰/۱۹	۰/۱۷	۰/۱۸	۰/۱۷	۰/۱۹	۰/۱۸	۰/۱۷	
Mn	۰/۰۰	۰/۰۰	۰/۰۱	۰/۰۱	۰/۰۱	۰/۰۱	۰/۰۱	۰/۰۱	۰/۰۱	۰/۰۱	۰/۰۱	۰/۰۰	
Mg	۰/۷۳	۰/۷۳	۰/۷۷	۰/۷۵	۰/۸۹	۰/۸۷	۰/۸۶	۰/۸۸	۰/۸۸	۰/۸۹	۰/۹۱	۰/۶۵	
Ca	۰/۱۹	۰/۹۰	۰/۸۵	۰/۸۷	۰/۸۸	۰/۹۲	۰/۸۶	۰/۸۶	۰/۸۴	۰/۸۳	۰/۸۳	۰/۸۶	
Na	۰/۰۴	۰/۰۴	۰/۰۴	۰/۰۴	۰/۰۴	۰/۰۴	۰/۰۳	۰/۰۴	۰/۰۳	۰/۰۴	۰/۰۵	۰/۰۷	
K	۰/۰۰	۰/۰۰	۰/۰۰	۰/۰۰	۰/۰۰	۰/۰۰	۰/۰۰	۰/۰۰	۰/۰۰	۰/۰۰	۰/۰۰	۰/۰۰	
Total	۴/۰۰	۴/۰۰	۴/۰۰	۴/۰۰	۴/۰۰	۴/۰۰	۴/۰۰	۴/۰۰	۴/۰۰	۴/۰۰	۴/۰۰	۴/۰۰	
En	۰/۴۱	۰/۴۱	۰/۴۳	۰/۴۱	۰/۴۶	۰/۴۴	۰/۴۶	۰/۴۶	۰/۴۷	۰/۴۷	۰/۴۷	۰/۴۹	
Fs	۰/۰۹	۰/۰۹	۰/۰۹	۰/۱۱	۰/۰۹	۰/۰۹	۰/۰۹	۰/۰۹	۰/۰۹	۰/۱۰	۰/۱۰	۰/۱۰	
Wo	۰/۰۵	۰/۰۵	۰/۰۸	۰/۰۸	۰/۰۵	۰/۰۶	۰/۰۶	۰/۰۵	۰/۰۴	۰/۰۳	۰/۰۳	۰/۰۱	
Jd	۰/۰۳	۰/۰۳	۰/۰۳	۰/۰۳	۰/۰۲	۰/۰۲	۰/۰۲	۰/۰۲	۰/۰۲	۰/۰۲	۰/۰۲	۰/۰۵	
Ac	۰/۰۱	۰/۰۱	۰/۰۱	۰/۰۱	۰/۰۲	۰/۰۲	۰/۰۲	۰/۰۲	۰/۰۲	۰/۰۲	۰/۰۲	۰/۰۱	
XSi (T)	۱/۸۸	۱/۸۲	۱/۷۹	۱/۹۰	۱/۸۹	۱/۸۶	۱/۹۴	۱/۹۰	۱/۹۳	۱/۹۰	۱/۸۵	۱/۸۹	
XAl <sup>IV</sup> (T)	۰/۱۲	۰/۱۸	۰/۲۱	۰/۱۰	۰/۱۴	۰/۰۴	۰/۰۶	۰/۰۶	۰/۰۷	۰/۰۶	۰/۰۹	۰/۱۱	
Fe <sup>3+</sup>	۰/۰۰	۰/۰۰	۰/۰۰	۰/۰۰	۰/۰۵	۰/۰۵	۰/۰۰	۰/۰۴	۰/۰۰	۰/۰۴	۰/۰۶	۰/۰۰	
Ti	۰/۰۰	۰/۰۰	۰/۰۰	۰/۰۰	۰/۰۱	۰/۰۱	۰/۰۰	۰/۰۰	۰/۰۰	۰/۰۰	۰/۰۰	۰/۰۰	
) T(Total)	۲/۰۰	۲/۰۰	۲/۰۰	۲/۰۰	۱/۹۹	۱/۹۷	۲/۰۰	۲/۰۰	۱/۹۹	۲/۰۰	۲/۰۰	۲/۰۰	
XAl <sup>VI</sup> (M1)	۰/۰۹	۰/۰۸	۰/۰۷	۰/۰۵	۰/۰۰	۰/۰۰	۰/۰۰	۰/۰۰	۰/۰۰	۰/۰۰	۰/۰۰	۰/۱۷	

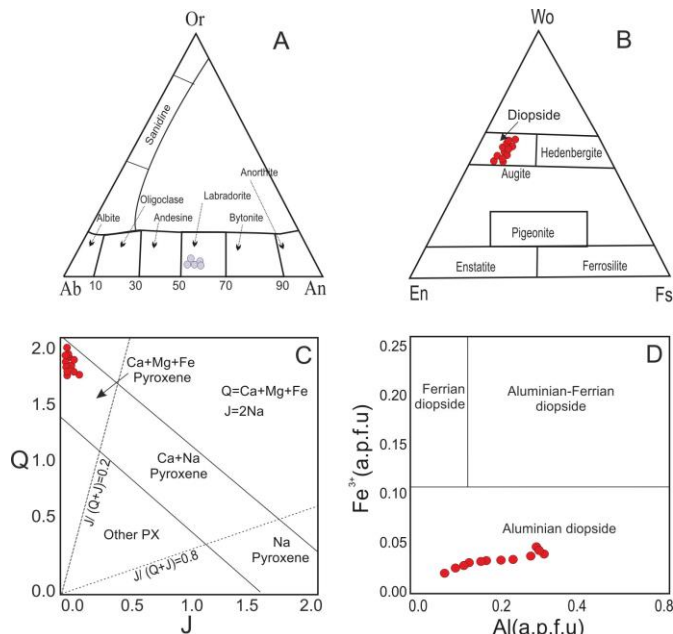
XFe3+ (M1)	۰/۰۶	۰/۰۷	۰/۰۶	۰/۰۶	۰/۰۰	۰/۰۰	۰/۰۶	۰/۰۱	۰/۰۶	۰/۰۱	۰/۰۰	۰/۰۶
XTi (M1)	۰/۰۲	۰/۰۳	۰/۰۳	۰/۰۲	۰/۰۰	۰/۰۰	۰/۰۱	۰/۰۱	۰/۰۱	۰/۰۱	۰/۰۲	۰/۰۱
XMn (M1)	۰/۰۰	۰/۰۰	۰/۰۱	۰/۰۱	۰/۰۱	۰/۰۱	۰/۰۱	۰/۰۱	۰/۰۱	۰/۰۱	۰/۰۰	۰/۰۰
XCr (M1)	۰/۰۰	۰/۰۰	۰/۰۰	۰/۰۰	۰/۰۰	۰/۰۰	۰/۰۰	۰/۰۰	۰/۰۰	۰/۰۰	۰/۰۰	۰/۰۰
XFe <sup>2+</sup> (M1)	۰/۱۵	۰/۱۴	۰/۱۵	۰/۱۸	۰/۱۷	۰/۱۸	۰/۱۵	۰/۱۶	۰/۱۵	۰/۱۷	۰/۱۶	۰/۱۶
XMg (M1)	۰/۶۷	۰/۶۷	۰/۶۸	۰/۶۸	۰/۸۳	۰/۸۴	۰/۷۸	۰/۸۱	۰/۷۸	۰/۷۹	۰/۸۱	۰/۶۰
Total (M1)	۱/۰۰	۱/۰۰	۱/۰۰	۱/۰۰	۱/۰۱	۱/۰۳	۱/۰۰	۱/۰۱	۱/۰۰	۱/۰۰	۱/۰۰	۱/۰۰
XFe <sup>2+</sup> (M2)	۰/۰۱	۰/۰۱	۰/۰۲	۰/۰۲	۰/۰۱	۰/۰۱	۰/۰۲	۰/۰۲	۰/۰۲	۰/۰۲	۰/۰۲	۰/۰۱
XMg (M2)	۰/۰۶	۰/۰۵	۰/۰۹	۰/۰۷	۰/۰۶	۰/۰۳	۰/۰۹	۰/۰۸	۰/۱۱	۰/۱۰	۰/۱۰	۰/۰۶
XCa (M2)	۰/۸۹	۰/۹۰	۰/۸۵	۰/۸۴	۰/۸۸	۰/۹۲	۰/۸۶	۰/۸۶	۰/۸۴	۰/۸۳	۰/۸۳	۰/۸۶
XNa (M2)	۰/۰۴	۰/۰۴	۰/۰۴	۰/۰۴	۰/۰۴	۰/۰۴	۰/۰۳	۰/۰۴	۰/۰۳	۰/۰۴	۰/۰۵	۰/۰۷
XK (M2)	۰/۰۰	۰/۰۰	۰/۰۰	۰/۰۰	۰/۰۰	۰/۰۰	۰/۰۰	۰/۰۰	۰/۰۰	۰/۰۰	۰/۰۰	۰/۰۰
Total M2	۱/۰۰	۱/۰۰	۱/۰۰	۱/۰۰	۱/۰۰	۱/۰۰	۱/۰۰	۱/۰۰	۱/۰۰	۱/۰۰	۱/۰۰	۱/۰۰
Mg/(Mg+Fe <sup>2+</sup> )	۰/۷۱	۰/۷۳	۰/۷۲	۰/۶۷	۰/۷۳	۰/۷۲	۰/۷۴	۰/۷۳	۰/۷۴	۰/۷۲	۰/۷۳	۰/۶۸
Fe <sup>2+)/(Fe<sup>2+</sup>+Fe<sup>3+</sup>)</sup>	۰/۷۲	۰/۶۹	۰/۷۰	۰/۷۸	۰/۷۸	۰/۷۹	۰/۷۵	۰/۷۷	۰/۷۶	۰/۷۸	۰/۷۵	۰/۷۵
Fe <sup>2+)/(Fe<sup>2+</sup>+Mg)</sup>	۰/۱۸	۰/۱۷	۰/۱۸	۰/۲۱	۰/۱۷	۰/۱۸	۰/۱۶	۰/۱۷	۰/۱۶	۰/۱۸	۰/۱۷	۰/۲۱
Al/(Al+Fe <sup>3+</sup> +Cr)	۰/۷۶	۰/۷۹	۰/۷۹	۰/۷۲	۰/۴۷	۰/۴۶	۰/۵۰	۰/۵۲	۰/۵۴	۰/۵۳	۰/۵۹	۰/۸۳
Cr#	۰/۰	۰/۰	۰/۰	۰/۰	۰/۰	۰/۰	۰/۰	۰/۰	۰/۰	۰/۰	۰/۰	۰/۰
Q	۱/۷۹	۱/۷۸	۱/۷۸	۱/۸۲	۱/۹۵	۱/۹۸	۱/۸۹	۱/۹۳	۱/۸۹	۱/۹۲	۱/۹۲	۱/۶۸
J	۰/۰۷	۰/۰۸	۰/۰۸	۰/۰۹	۰/۰۸	۰/۰۸	۰/۰۷	۰/۰۹	۰/۰۷	۰/۰۸	۰/۱۰	۰/۱۳
Ti+Cr+Na	۰/۰۶	۰/۰۷	۰/۰۷	۰/۰۶	۰/۰۵	۰/۰۵	۰/۰۵	۰/۰۶	۰/۰۵	۰/۰۵	۰/۰۷	۰/۰۸
Na+Al <sup>IV</sup>	۰/۱۶	۰/۲۲	۰/۲۵	۰/۱۵	۰/۱۸	۰/۱۸	۰/۱۰	۰/۱۰	۰/۱۰	۰/۱۰	۰/۱۴	۰/۱۷
Al <sup>VI</sup> +2Ti+Cr	۰/۱۳	۰/۱۴	۰/۱۳	۰/۰۸	۰/۰۲	۰/۰۲	۰/۰۳	۰/۰۳	۰/۰۲	۰/۰۲	۰/۰۴	۰/۲۰
Ca+Na	۰/۹۳	۰/۹۳	۰/۸۹	۰/۹۱	۰/۹۲	۰/۹۶	۰/۹۰	۰/۹۱	۰/۸۷	۰/۸۷	۰/۸۸	۰/۹۲
1000Na	۳۶/۴۷	۳۶/۶۲	۴۲/۱۰	۴۳/۱۸	۳۸/۹۳	۳۷/۵۳	۳۴/۱۷	۴۲/۶۸	۳۳/۲۸	۴۱/۸۵	۴۸/۶۶	۶۶/۱۴
1000Cr	۰/۰	۰/۰	۰/۰	۰/۰	۰/۰	۰/۰	۰/۰	۰/۰	۰/۰	۰/۰	۰/۰	۰/۳۰
YPT	-۲۷/۵	-۲۷/۳	-۲۷/۲	-۲۷/۱	-۲۸/۹	-۲۸/۶	-۲۹/۰	-۲۸/۷	-۲۹/۱	-۲۸/۷	-۲۸/۵	-۲۷/۶
XPT	۳۶/۴۴	۳۵/۲۸	۴۴/۸۸	۳۷/۲۶	۳۹/۹۷	۴۰/۰۴	۳۹/۸۰	۳۹/۴۷	۳۹/۶۹	۳۹/۴۷	۳۸/۸۴	۳۵/۰۵
Ti+Cr	۰/۰۲	۰/۰۳	۰/۰۳	۰/۰۲	۰/۱	۰/۰۱	۰/۱	۰/۱	۰/۰۱	۰/۰۱	۰/۰۲	۰/۰۱
TiO <sub>2</sub> +Cr <sub>2</sub> O <sub>3</sub>	۰/۷۷	۰/۹۵	۱/۰۶	۰/۵۷	۰/۳۲	۰/۳۶	۰/۵۱	۰/۴۷	۰/۵۱	۰/۴۵	۰/۷۹	۰/۵۳
F1	-۰/۸۵	-۰/۸۴	-۰/۸۳	-۰/۸۴	-۰/۸۲	-۰/۸۳	-۰/۸۴	-۰/۸۳	-۰/۸۳	-۰/۸۳	-۰/۸۳	-۰/۸۵
F2	-۲/۱۱	-۲/۰۳	-۲/۰۲	-۲/۱۸	-۲/۲۷	-۲/۲۳	-۲/۲۲	-۲/۲۶	-۲/۲۲	-۲/۲۸	-۰/۲۲	-۰/۰۹
100Al <sup>IV</sup>	۱۲/۱۸	۱۸/۸۴	۲۰/۷۰	۱۰/۲۰	۴/۴۳	۴/۴۰	۴/۹۸	۵/۸۸	۶/۵۸	۶/۸	۹/۱۷	۱۰/۶۶
Al <sup>IV</sup> +Fe <sup>3+</sup>	۰/۱۹	۰/۲۵	۰/۲۸	۰/۱۶	۰/۰۹	۰/۰۹	۰/۱۲	۰/۱۱	۰/۱۲	۰/۱۱	۰/۱۵	۰/۱۶
Si <sup>4+</sup> +Fe <sup>2+</sup>	۲/۰۴	۱/۹۷	۱/۹۶	۲/۱۰	۲/۰۷	۲/۰۵	۲/۱۱	۲/۰۸	۲/۱۰	۲/۰۹	۲/۰۳	۲/۰۶
TiO <sub>2</sub> +Cr <sub>2</sub> O <sub>3</sub>	۰/۷۷	۰/۹۵	۰/۱۰۶	۰/۵۷	۰/۳۲	۰/۳۶	۰/۵۱	۰/۴۷	۰/۵۱	۰/۴۵	۰/۷۹	۰/۵۳
T(Nimis and Taylor, 2000)	۱۲۴۹	۱۲۵۲	۱۲۵۱	۱۲۳۳	۱۲۶۰	۱۲۵۰	۱۲۵۸	۱۲۵۵	۱۲۶۰	۱۲۵۳	۱۲۴۴	۱۲۵۷
T(Putirka, 2008)	۱۲۴۲	۱۲۴۲	۱۲۳۵	۱۲۳۵	۱۲۴۴	۱۲۴۱	۱۲۴۳	۱۲۴۰	۱۲۴۱	۱۲۳۷	۱۲۲۲	۱۲۴۹
T (Kretz, 1994)	۱۲۸۲	۱۳۰۳	۱۲۹۶	۱۲۱۹	۱۳۱۲	۱۲۹۸	۱۳۲۸	۱۳۱۴	۱۳۲۳	۱۲۹۴	۱۳۱۳	۱۲۲۴
T(Bertrand and Mercier, 1985)	۱۱۹۸	۱۱۹۴	۱۲۱۵	۱۲۰۶	۱۲۰۰	۱۱۸۰	۱۲۱۰	۱۲۰۹	۱۲۲۱	۱۲۲۴	۱۲۲۵	۱۲۱۲
P(Putirka, 2008)	۶	۶	۶	۶	۵	۵	۵	۶	۶	۶	۶	۶
h(Km)	۲۱	۲۰	۲۰	۱۹	۲۰	۱۹	۱۹	۲۱	۲۱	۲۱	۲۱	۲۱

ترکیب قلایی مانگمای والد سنگ‌های مورد مطالعه مشخص شده که وجود کانی آلکالی فلدوپار در مطالعات سنگ شناختی نیز مؤید آلکالی پتاسیک بودن مانگمای این سنگ‌ها است. در نمودار تغییرات (شکل ۴) که مرتبط با تبلور کانی‌های کدر تیتانومگنتیت (F) و کلینوپیروکسن به صورت همزمان و همزیست است. با تبلور تیتانومگنتیت (شکل ۴A) در سنگ مورد مطالعه سازگاری دارد (شکل ۴A). کانی‌های تیره تراکی آندزیت‌های مورد مطالعه در نمودار

تعیین سری مانگمایی بررسی شیمی کانی کلینوپیروکسن به شناخت محیط زمین ساختی تشکیل مانگمای والد گدازه‌های میزبان مساعدت می‌کند. جهت برآورد محیط زمین ساختی گدازه‌های مورد مطالعه براساس شیمی کلینوپیروکسن، از نمودار (Leterrier et al, 1982) Ti در برابر Al<sup>IV</sup> (Sheld et al, 1997) SiO<sub>2</sub> برای تعیین سری مانگمایی بر این اساس، از نمودار (Nisbet et al, 1997) Al<sub>2</sub>O<sub>3</sub> در برابر Ca+Na (شکل ۴E) استفاده شده است، بر پایه این نمودارها،

1982)، سری ماقمایی آلکالن را برای اغلب نمونه‌های منطقه مورد مطالعه مشخص می‌کند. (E) نمودار تعیین سری ماقمایی براساس  $\text{Al}_2\text{O}_3$  در برابر  $\text{SiO}_2$  در ترکیب شیمیایی کانی کلینوپیروکسن (Nisbet, 1997)، ماهیت آلکالن تا ساب آلکالن ماقمای میزبان را نشان می‌دهد. (F) در نمودار تغییرات  $\text{Al}^{\text{IV}}$  در برابر  $\text{Ti}$  (Zhu and Ogasawara, 2004) نشان‌دهنده مقادیر پایین تیتان نمونه‌های مورد مطالعه است.

(Butler, 1992) در بخش تیتانومگنیتیت قرار می‌گیرند. (B) طبقه‌بندی و تفکیک ماهیت کلینوپیروکسن‌ها در نمودار  $\text{Ti}+\text{Na}+\text{Cr}$  در برابر  $\text{Al}$  (Berger et al, 2005) در نمودار توزیع  $\text{Si}$  در برابر  $\text{Al}$ ، نمونه‌های کانی مورد بررسی در بالای خط قرار می‌گیرند که بر جایگیری کل  $\text{Si}$  و بخشی از آلومنینیم ترکیب کلینوپیروکسن‌ها در موقعیت چهاروجهی این کانی دلالت می‌کند (Nosova et al, 2002) ترکیب شیمیایی کلینوپیروکسن‌ها در نمودار  $\text{Ca}+\text{Na}$  در برابر  $\text{Ti}$  (Leterrier et al, 2002) در نمودار  $\text{Ca}+\text{Na}$  در برابر  $\text{Ti}$  (Leterrier et al, 2002)



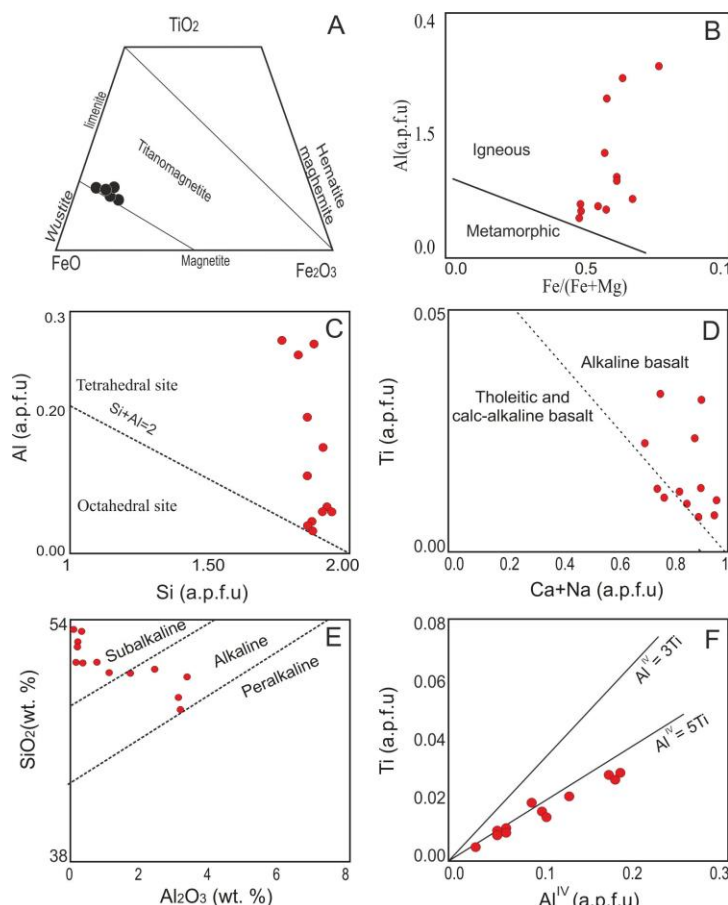
شکل ۳: (A) نمونه‌های پلاژیوکلازی گذارهای گنجین که در نمودار مثلثی نام‌گذاری فلدسپارها (Deer et al, 1992) در محدوده ترکیبی لابرادوریت قرار گرفته‌اند. (B) ترکیب کلینوپیروکسن‌ها در نمودار مثلثی (Deer et al, 1992)؛ انسنتانیت (En)، ولستونیت (Wo) و فروسیلیت (Fs)، در محدوده دیوبسید قرار گرفته است. (C) ترکیب کلینوپیروکسن‌ها مورد مطالعه در نمودار تقسیم‌بندی کلینوپیروکسن‌ها (Morimoto et al, 1988)، محدوده پیروکسن‌های آهن، منیزیم، کلسیم‌دار را نشان می‌دهد. (D) نمودار  $\text{Fe}^{3+}/(\text{a.p.f.u})$  در برابر  $\text{Al}/(\text{a.p.f.u})$  (a.p.f.u) در برابر  $\text{Al}$  (a.p.f.u) (Deer et al, 1992) نمودار تعداد اتم‌های آلومنیندیوپسید نمونه‌ها را مشخص می‌نماید.

در برابر تعداد اتم‌های  $\text{Al}$  در ساختار کانی‌های کلینوپیروکسن (شکل ۴)، جایگزینی بخشی از اتم‌های آلومنینیوم را در سایت تترائدری نشان می‌دهد که دلیلی بر کم سیلیس بودن ماقمای والد این کانی‌ها می‌باشد (Papike et al, 1974).

نمودار تغییرات تعداد اتم  $\text{Al}_{\text{Total}}$  در برابر مجموع مقادیر اتم  $\text{Cr}$ ،  $\text{Ti}$  و  $\text{Na}$  در فرمول کانی‌های کلینوپیروکسن (Berger et al, 2005)، ماهیت آذرین کلینوپیروکسن‌های مورد مطالعه را مشخص نموده است (شکل ۴). نمودار تعداد اتم‌های  $\text{Si}$

جدول ۳: نتایج تجزیه ریزکاو الکترونی کانی‌های تیره در تراکی آندزیت‌های جنوب طارم

	Core	Core	Core	Core	Core
$\text{SiO}_2$	•/٤٣	•/٢٢	•/٤٤	•/٤٢	•/٠٩
$\text{TiO}_2$	١٠/٧٨	٧/٧٧	٨/٥٠	٧/٦٦	٦/٨٠
$\text{Al}_2\text{O}_3$	٢/٤٠	٢/٦٧	٢/٧٥	٢/٩٩	٢/٦٨
$\text{FeO}$	٦٦/٦٦	٦٧/٩٢	٦٨/٤٥	٦٨/٣٣	٧٠/٦٤
$\text{Fe}_2\text{O}_3$	٧/٣٣	٧/٤٧	٧/٥٣	٧/٥٢	٧/٧٧
$\text{MnO}$	•/٧١	•/٦٦	•/٦٦	•/٧٨	•/٣٥
$\text{MgO}$	١/٠٤	١/٦٩	١/٥٣	١/٩٣	٢/٧٥
$\text{CaO}$	•/٠٥	•/٠٦	•/٠٤	•/٠٧	•/٠٨
$\text{Na}_2\text{O}$	•/٠٧	١/١١	•/٠٨	•/٠٧	•/٠٠
$\text{K}_2\text{O}$	•/٠٢	•/٠٠	•/٠٣	•/٠٠	•/٠٠



شکل ۴: (A) نمونه‌های کانی‌های تیره تراکی آندزیت‌های مورد مطالعه در نمودار باتлер (1992)، که در محدوده ترکیبی تیتانومگنتیت قرار گرفته‌اند. (B) طبقه‌بندی و تفکیک ماهیت کلینوپیروکسن‌ها در نمودار  $\text{Ti}+\text{Na}+\text{Cr}$  در برابر  $\text{Al}$  Berger (1992). (C) در نمودار توزیع  $\text{Si}$  در برابر  $\text{Al}$  نمونه‌های کلینوپیروکسن مورد بررسی در نمودار (et al, 2005). (D) نمودار  $\text{Ca}+\text{Na}$  در برابر  $\text{Ti}$  (Leterrier et al, 1982)، که کلینوپیروکسن‌های منطقه در سری ماگمایی آلکالن قرار گرفته‌اند. (E) نمودار تعیین سری ماگمایی براساس  $\text{SiO}_2$  در برابر  $\text{Al}_2\text{O}_3$  از Nisbet (1997) که ماهیت آلکالن تاب آلکالن ماگمای میزان در رابطه با ترکیب شیمیایی کانی کلینوپیروکسن را نشان می‌دهد. (F) نمودار تغییرات  $\text{Al}^{\text{IV}}$  در برابر  $\text{Ti}$  (Zhu and Ogasawara, 2001).

## رابطه (۴)

$T (K) = 93100 + 544 P(Kbar) / 61.1 + 36.6 X_{Ti}^{Cpx} + 10.9 (X_{Fe}^{Cpx}) - 0.95 (X_{Al}^{Cpx} + X_{Cr}^{Cpx} - X_{Na}^{Cpx} - X_{K}^{Cpx}) + 0.395 [(lna_{En}^{Cpx})^2]$

همچنین بر مبنای محاسبات فرمول ۵ از Kretz, (1994) و فرمول ۶ از Bertrand and Mercier, (1985)، دمای تشکیل این کانی‌ها به ترتیب در محدوده دمایی  $1273 \pm 60$  و  $1203 \pm 60$  درجه حاصل شده که به تفکیک در جدول ۲ ارائه شده است. تمامی روش‌های دماسنجی انجام شده، متوسط دمای تبلور را  $1243$  سانتی‌گراد با  $\pm 50$  برآورد نموده‌اند (روابط ۵ تا ۷).

## رابطه (۵)

$$T^{\circ C} (Cpx) = ([23166 + 39.28P (kbar)] / [13.25 + 15.35Ti + 4.5Fe - 1.55(Al+Cr-Na) + (lna_{en}^{Cpx})^2] \pm 25^{\circ C}) - 274$$

$$X_{en}^{Cpx} = (1 - Ca - Na - K) (1 - 1/2(Al+Cr+Na+K))$$

## رابطه (۶)

$$T^{\circ C} (Cpx) = \{1000 / (0.054 + 0.608XCpx - 0.304Ln (1 - 2[Ca] Cpx))\} - 273$$

$$XCpx = [Fe^{2+} / (Fe^{2+} + Mg)]_{Cpx}$$

## رابطه (۷)

$$T^{\circ C} (Cpx) = (33696 + 45.45P) / (17.61 - 8.314Ln [(1 - X_{M2}^{Ca}) / 0.95] - 12.13[X_{M2}^{Ca}]^2)$$

## فشار سنجدی

به منظور بررسی‌های فشارسنجدی نمونه‌های مورد مطالعه، از روش‌های ارائه شده بر پایه ترکیب تک‌بلور کلینوپیروکسن و نسبت  $Al^{VI}/Al^{IV}$  استفاده شده است (Helz, 1973; Aoki and Shiba, 1973; Wass, 1979). متوسط نسبت  $Al^{VI}/Al^{IV}$  در نمونه‌های مورد مطالعه  $0/8$  و نسبت  $Al/Ti$  آن‌ها  $4/19$  می‌باشد که سبب افزایش مقادیر  $Fe^{2+}$  را در سایت M1 شده است. نسبت‌های بالای  $Al/Ti$  و نسبت پایین  $Al^{VI}/Al^{IV}$  با انواع کلینوپیروکسن‌های کم‌فشار در سنگ‌های آذرین مطابقت نشان می‌دهند (Aoki and Shiba, 1973). چنانچه در نمودار (Aoki and Shiba, 1973) مشخص است، برای تبلور نمونه کلینوپیروکسن‌های مورد مطالعه

## دماسنجدی

برای دماسنجدی تک کانی کلینوپیروکسن از روش ترسیمی (Soesoo, 1997) با تعیین پارامترهای محاسباتی XPT و YPT، دمای تشکیل کانی برآورد می‌شود. در این روش پارامترهای XPT و YPT با فرمول رابطه ۱ و ۲ محاسبه می‌شوند:

## رابطه (۱)

$$XPT = 0.446 SiO_2 + 0.187 TiO_2 - 0.404 Al_2O_3 + 0.346 FeO_{Total} - 0.052 MnO + 0.309 MgO + 0.431 CaO - 0.446 Na_2O.$$

## رابطه (۲)

$$YPT = -0.369 SiO_2 + 0.535 TiO_2 - 0.317 Al_2O_3 + 0.323 FeO_{Total} + 0.235 MnO - 0.516 MgO - 0.167 CaO - 0.153 Na_2O$$

مقدار XPT برای نمونه‌های مورد بررسی در گستره  $34/88$  تا  $40/04$  و مقدار YPT در محدوده  $29/13$ - $27/10$ - $29/10$  است. براساس این روش دمای تشکیل کلینوپیروکسن‌های منطقه مورد مطالعه، در محدوده  $1200$  تا  $1250$  (۵۰ ± ۵۰) درجه سانتی‌گراد تخمین زده می‌شود (شکل ۵).

جهت دمای تشکیل کلینوپیروکسن‌ها از فرمول رابطه ۳ (Nimi and Taylor, 2000)، برای نمونه‌های کانی کلینوپیروکسن این منطقه استفاده شده و محاسبه شده است:

## رابطه (۳)

$$T (K^{\circ}) = 23166 + 39.28 (P kbar) / 13.25 + 15.35Ti + 4.5Fe - 1.55(Al+Cr-Na-K) + (lna_{en}^{Cpx})^2$$

بر پایه محاسبات با روش مزبور، دمای تشکیل کلینوپیروکسن‌ها در محدوده  $1233$  تا  $1260$  درجه سانتی‌گراد با تغییرات  $\pm 25$  تخمین زده شد (جدول ۲).

دماسنجدی کانی کلینوپیروکسن به روش Putirka, (2008) انجام می‌شود که بر پایه فرمول  $4/1232$  دمای تبلور کلینوپیروکسن‌ها، در محدوده  $1249$  درجه سانتی‌گراد تعیین شده است (جدول ۲).

نمود. بر همین مبنای، فرمول زیر را برای محاسبه فشار تشکیل کانی کلینوپیروکسن طراحی نموده‌اند (Putirka et al, 2008). بر پایه فرمول رابطه ۸، فشار تشکیل کانی‌های مورد مطالعه مابین  $5/6$  تا  $6/2$  کیلوبار محاسبه شده است (جدول ۳).

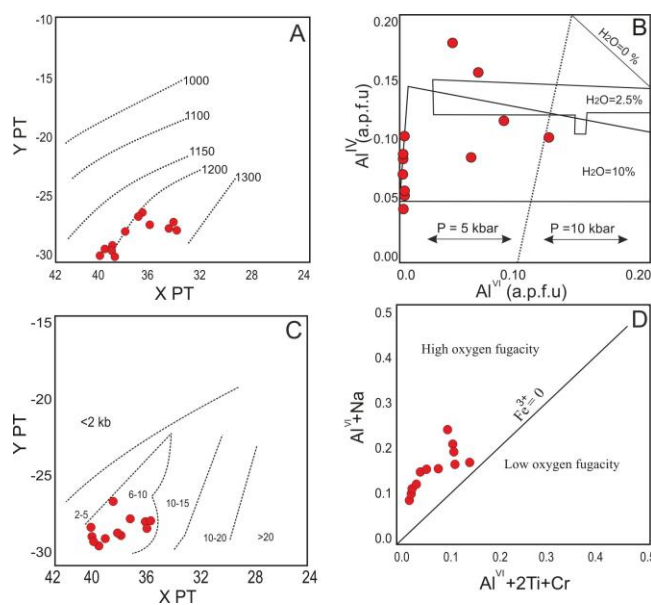
(رابطه ۸)

$$P \text{ (Kbar)} = 3205 + 0.384 T \text{ (K)} - 518 \ln T \text{ (K)} - 5.62 (X_{\text{Mg}}^{\text{cpx}}) + 83.2 (X_{\text{Na}}^{\text{cpx}}) + 68.2 (X_{\text{EnFs}}^{\text{cpx}}_{\text{DiHd}}) + 2.52 \ln (X_{\text{Al(VI)}}^{\text{cpx}}) - 51.1 (X_{\text{EnFs}}^{\text{cpx}}_{\text{DiHd}})^2 + 34.8 (X_{\text{EnFs}}^{\text{cpx}}_{\text{EnFs}})^2$$

### گریزندگی اکسیژن

برای تعیین گریزندگی اکسیژن، از نمودار (Schweitzer et al, 1979) که بر پایه نسبت  $\text{Al}^{\text{IV}}/\text{Al}^{\text{VI}} + 2\text{Ti} + \text{Cr}$  در برابر  $\text{Na} + \text{Al}^{\text{IV}}$  می‌باشد، استفاده نموده‌ایم (شکل ۵). چنانچه در این شکل (D) نشان داده شده، نمونه‌های مورد مطالعه در محدوده گریزندگی اکسیژن بالا قرار گرفته‌اند.

محدوده فشار ۵ کیلوبار و میزان آب حدود  $2/5$ % تا  $10$ % برآورده شده است (شکل ۵B). همچنین برای تعیین فشار محیط تشکیل کلینوپیروکسن‌های Soesoo مطالعه از نمودار فشارسنجی (Soesoo, 1997) استفاده شد که در این نمودار، فشار تشکیل این کانی‌ها بالاتر از  $6$  و کمتر از  $10$  کیلوبار است (شکل ۵C). مطالعات جدید نشان می‌دهند که شرایط P-T ماغما نقش مهمی در ترکیب Bindi et al, 1999; Aydin et al, 2008 کلینوپیروکسن‌ها دارد (Aydin et al, 2008). در فشارهای مختلف کلینوپیروکسن‌های موجود در ماغما ضمن تغییرات شیمیایی در ترکیب کانی‌شناسی خود، پایدار می‌باشند. بنابر تحقیقات (Dal Negro et al, 1989) می‌توان از شیمی ساختاری پیروکسن‌ها برای مشخص نمودن شرایط پتروژن این کانی استفاده



شکل ۵: (A) تعیین دمای تبلور کلینوپیروکسن‌های تراکی آندزیت جنوب طارم طبق نمودار (Soesoo, 1997) محدوده دمایی  $1200$  تا  $1300$  با دامنه تعییرات  $\pm 50$  را نشان می‌دهد. (B) نمودار تعییرات  $\text{Al}^{\text{VI}}$  در برابر  $\text{Al}^{\text{VI}}$ ، برای تخمین فشارهای کلینوپیروکسن (Aoki and Shiba, 1973)، نمونه‌ها در محدوده فشار ۵ کیلوبار و مقادیر آب در حدود  $2/5$ % تا  $10$ % قرار گرفته است. (C) در نمودار تعییرات  $\text{XPT}$  در برابر  $\text{YPT}$ ، برای تخمین فشارهای کلینوپیروکسن (Soesoo, 1997)، نمونه‌ها در محدوده فشارهای بالای  $6$  تا کمتر از  $10$  کیلوبار قرار گرفته‌اند. (D) موقعیت کلینوپیروکسن‌ها در نمودار  $\text{Na} + \text{Al}^{\text{IV}}$  در برابر  $\text{Cr} + 2\text{Ti} + \text{Al}^{\text{IV}}$  نشانگر تشکیل کلینوپیروکسن‌ها در گریزندگی بالای اکسیژن بوده است.

مواردی می‌تواند سبب ایجاد شرایط اکسیداسیون قوی در مذاب‌های آلکالن منشأ باشد (Praper and Brandon, 1996). نتایج نمودارهای (شکل Kheirkhah et al, 2018) و (فریدی و انوری، ۱۳۹۷) سرشت پتاسیکی ماگماتیسم وابسته به فرورانش در منطقه جنوب طارم تائید شده است. با توجه به این که در نمودارهای شیمی کل، این سنگ‌ها، سرشت آلکالن و ساب آلکالن را نشان داده‌اند، می‌تواند بیانگر دخالت پوسته قاره‌ای در تکوین و تحول سنگ مادر این سنگ‌ها باشد. تمامی این شرایط نشان‌دهنده منشأ اولیه که دارای شرایط اکسیداسیون در محیط فرورانشی مشابه مطالعات (Kress and Carmichael, 1998) است همچنین با تحقیقات (Ridolfi et al, 2010) گریزندگی بالا و وابستگی به محیط فرورانشی حواشی فعال قاره‌ای تائید شده است.

### تکتونیک

با مطالعه شیمی کلینوپیروکسن‌های موجود در تراکی آندزیت‌های جنوب طارم در نمودار (Ao et al, 2010)  $TiO_2$  در برابر  $Al^{IV} * 100$  (از  $0/32$  تا  $1/06$ ) نمونه‌ها نسبت به افزایش  $TiO_2$  مشابه با کمان‌های ماگمایی است (شکل ۷A). همچنین بر همین اساس تشکیل این سنگ‌ها در محیط تکتونیکی وابسته به کمان ماگمایی (شکل ۷B) مشخص شده (Nisbet and Pearce, 1977) است. مقادیر F1 و F2 در نمودار (شکل ۷B) که براساس فرمول‌های رابطه ۹ ارائه شده محاسبه شده است:

رابطه ۹

$$F1 = - (0.012 * SiO_2) - (0.0807 * TiO_2) + (0.0026 * Al_2O_3) - (0.0012 * FeO_{total}) - (0.0026 * MnO) + (0.0087 * MgO) - (0.0128 * CaO) - (0.0419 * Na_2O)$$

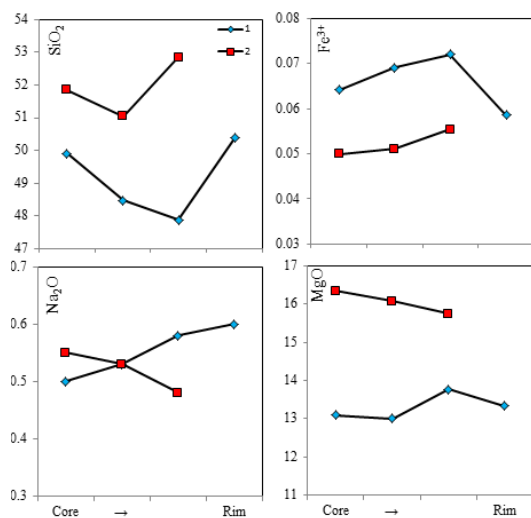
$$F2 = - (0.0469 * SiO_2) - (0.0818 * TiO_2) - (0.0212 * Al_2O_3) - (0.0041 * FeO_{total}) -$$

### بررسی منطقه‌بندی کلینوپیروکسن‌ها

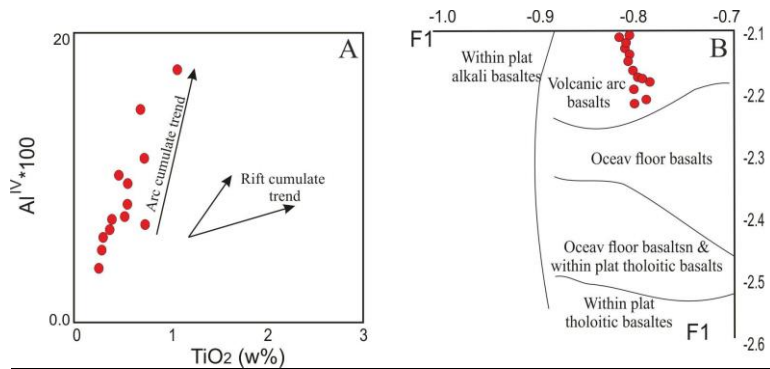
در ریزکاوی کلینوپیروکسن‌های مورد مطالعه، منطقه‌بندی از هسته تا حاشیه قابل تشخیص است که نوارهای حاشیه‌ای با انتشار یون‌های بزرگ، غنی شده‌اند. روند تبلور و رشد بلورهای مورد مطالعه عادی روندی عادی داشته و از هسته بلور به سمت حاشیه با توجه به مقادیر عناصری چون  $SiO_2$  و  $Na_2O$  روند افزایشی و متاثر از خمیره بلور در مراحل نهایی تبلور را نشان می‌دهند و  $MgO$  روند تقریباً کاهشی تا نوسانی نشان می‌دهد که این نتایج Deer et al, 1986; Aydin et al, 2008 با توجه به پژوهش‌های محققین (Dobosi and Horvath, 1988; Aydin et al, 2008) گوشه‌به بلوار به اثبات رسیده است. منطقه بندی عادی (با توجه به شکل ۶ و جدول ۲) در کلینوپیروکسن‌های منطقه، آلایش کم اثری را در مسیر صعود نشان می‌دهند که با عدم تغییرات مؤثر فشار همراه بوده است (Dobosi and Horvath, 1988; Aydin et al, 2008) شرایط متغیر حالت اکسیداسیون و گریزندگی اکسیژن نیز با در نظر گرفتن تغییرات افزایشی ملایم  $Fe_2O_3$  با مقادیر  $1/82$  تا  $2/56$  و  $Fe^{3+}$  از مرکز بلور به سمت حاشیه در محدوده  $0/06$  تا  $0/00$  در واحد فرمولی کانی، می‌تواند با بالا بودن گریزندگی اکسیژن در ناحیه منبع ماگما و آلایش توام با اکسیداسیون در طی صعود ماگما ایجاد گردد (Hoskin et al, 1998; Kress and Carmichael, 1988; Aydin et al, 2008, 2001) که این موضوع با همراهی تیتانومگنتیت در مodal و بالا بودن گریزندگی اکسیژن در منشأ تأیید می‌شود. با توجه به افزایش کاتیون عناصر آلکالنی همچون  $Na$  و  $K$  از هسته به حاشیه، عواملی چون ذوب بخشی گوشه‌به بالائی، سیالات آزاد شده از صفحه فرورونده غنی از مواد فرار، نقش رسوبات، ترکیب مواد فرار و سیالات همراه را مورد توجه قرار دارد. چنین

سنگ‌های آتشفشاری بازیک این مناطق (Kheirkhah et al, 2018) و آقابلی و همکاران (۱۳۹۸) می‌باشد. در نمودار (شکل ۷B)، نمادهای محیط‌های تکتونیکی شامل این تعاریف می‌باشند: OFB: Ocean-Floor Basalts, WPA: Within Plate Alkaline Basalts. VAB: Volcanic Arc Basalts WPT: Within Plate Tholeiitic Basalts.

مقدار اندک تیتان و غنی شدگی از عناصر Ca و Si در ترکیب شیمیایی کلینوپیروکسن های این منطقه می تواند توجیهی بر قرارگیری نمونه های منطقه در گستره بازالت های کمان مآگمایی (VAB) باشد که براساس شیمی سنگ کل در



شکل ۶: نمودارهای تغییرات ترکیبی ۲ نمونه از کلینوپیروکسن‌های منطقه، از هسته به حاشیه که منطقه‌بندی عادی را نشان می‌دهد.



شکل ۷: (A) در نمودار  $\text{Al}^{\text{IV}}\text{TiO}_2$  از (Ao et al, 2010)، نمونه‌ها در روند کمان قاره‌ای قرار گرفته‌اند (B) در نمودار F1 و F2 (Nisbet and Pearce, 1977)، تمامی نمونه‌ها در محدوده بازالت‌های کمان ماسه‌ای واقع شده‌اند.

هستند که در خمیره‌ای از ریزبلورهای میکافلدسپار و کانی‌های تیره با بافت هیالومیکروولیتی پورفیری و میکروولیتی پورفیری قرار دارند؛ این گذاره‌ها از ماسه‌گامای فقیر از سدیم و غنی از پتاسیم

نتیجہ گیری

ترانکی آندزیت‌های جنوب طارم متشکل از درشت بلورهای پلاژیوکلاز، کلینوپیروکسن و آلمونیودیوپیسیدی منیزیم - آهندار و آمفیبیول

پوسته‌ای پیش از فوران را نیز تجربه کرده‌اند. تاثیر آلایش مواد پوسته‌ای بر تبلور گوشه و حاشیه کانی‌های مورد مطالعه مشخص می‌باشد. تبلور کلینوپیروکسن‌ها در فشار و عمق مذکور با توجه به حضور آهن  $\text{Fe}^{3+}$  در هسته و نوسان تا حاشیه بلورها در خلال تبلور می‌تواند در ارتباط با شرایط گریزندگی اکسیژن ماقمای والد باشد، چنانچه گریزندگی بالای اکسیژن با حضور تیتانومگنتیت و حضور آب و سیالات، تأیید‌کننده وابستگی ماقمای والد به یک محیط فرورانشی است. مطالعات حاضر با بررسی‌ها انجام شده و شواهد زمین‌شناسی در مقیاس ناحیه‌ای و مطالعه ویژگی‌های ژئوشیمیایی نمونه‌های مورد مطالعه سازگار است و این منطقه به عنوان بخشی از نوار ماقمایی پالتوژن البرز غربی-آذربایجان با جایگاه ژئودینامیکی "کمان ماقمایی بعد از برخورد" تطابق مناسبی نشان می‌دهد.

-فریدی، م. و انوری، ا.، ۱۳۷۹. نقشه زمین‌شناسی هشتگین، مقیاس ۱:۱، سازمان زمین‌شناسی و اکتشافات معدنی کشور.

-Ao, S.J., Xiao, W.J., Han, C.M., Mao, Q.G. and Zhang, J.E., 2010. Geochronology and geochemistry of early Permian mafic-ultramafic complexes in the Beishan area, Xinjiang, NW China: implications for late Paleozoic tectonic evolution of the southern Altaids. *Gondwana Research*, v. 18, p. 466-478.

-Aoki, K.I. and Shiba, I., 1973. Pyroxenes from Lherzolite Inclusions of Itinome-Gata, Japan. *Lithos*, v. 6, p. 41-51.

-Aydin, F., Karsli, O. and Chen, B., 2008. Petrogenesis of the Neogene

با شاهد مدار میکا و فلدسپار منشا شده‌اند. بررسی‌های دماسنجدی نشان‌دهنده تبلور کلینوپیروکسن‌ها در گستره دمایی ۱۲۰۰ تا  $1261 \pm 50$  درجه سانتی‌گراد است. که این طیف دمایی می‌تواند دلیلی بر عدم نوسانات دمایی محسوس در طی تبلور تاخیری این کانی از ماقمای والد آکالان تا ساب آکالان باشد. با توجه به مطالعات فشارسنجدی، فشار تشکیل مابین  $5/4$  تا  $6/2$  کیلوبار و عمق تبلور این کانی در حدود ۱۹ تا ۲۱ کیلومتری سطح زمین (بر پایه افزایش  $3/5$  کیلوبار فشار به ازای هر یک کیلومتر عمق)، برآورد شده است. کلینوپیروکسن‌های مورد مطالعه در تعادل با یک ماقمای والد پتاسیک غنی از مواد فرار با گریزندگی بالای اکسیژن در حدود  $2/5\%$  تا  $10\%$  بوده است که ویژگی‌های مذکور نشانگر تشکیل در یک محیط تکتونیکی کمان‌های حواشی فعال قاره‌ای است. با توجه به مطالعات دما-فسارسنجدی دیپسیدهای منطقه، تبلور در یک محزن درون

## منابع

-نبوی، م.ح.، ۱۳۵۵. دیباچه‌ای بر زمین‌شناسی ایران، سازمان زمین‌شناسی و اکتشافات معدنی کشور، تهران، ۱۰۹ ص.

alkaline volcanics with implications for post-collisional lithospheric thinning of the Eastern Pontides, NE Turkey, *Lithos*, v. 104, p. 249-266.

-Aydin, F., Karsli, O., Sadiklar, M.B. and Altherr, R., 2001. Mineralogy and chemical characteristics of the sector and oscillatory zoned diopsides from Pliocene alkaline volcanic suites, South of Trabzon/NE-Turkey. Beihefte zum European Journal of Mineralogy, v. 13, p. 17-32.

-Berger, J., Féménias, O., Mercier, J.C.C. and Demaiffe, D., 2005. Ocean-floor hydrothermal metamorphism in the

- Limousin ophiolites (western French Massif Central): evidence of a rare preserved, *Journal of Metamorphic Geology*, v. 23, p. 795-812.
- Bertrand, P. and Mercier, J.C., 1985. The mutual solubility of coexisting ortho- and clinopyroxene: toward an absolute geothermometer for natural system? *Earth and Planetary Science Letters*, v. 76, p. 109-122.
- Bindi, L., Cellai, D., Melluso, L., Conticelli, S., Morra, V. and Menchetti, S., 1999. Crystal chemistry of clinopyroxene from alkaline undersaturated rocks of the Monte Vulture Volcano, Italy. *Lithos*, v. 46, p. 259-274.
- Butler, R.F., 1992. *Paleomagnetism: Magnetic Domains to Geologic Terranes* Blackwell Scientific Publications., Boston, 319 p.
- Dal Negro, A., Carbonin, S., Molin, G., Cundari, A. and Piccirillo, E., 1982. Intracrystalline cation distribution in natural clinopyroxenes of tholeiitic, transitional, and alkaline basaltic rocks. In: *Advances in physical geochemistry*. Springer, p. 117-150.
- Deer, W.A., Howie, R.A. and Zussman, J., 1992. *An Introduction to the Rock forming*
- Deer, W.A., Howie, A. and Zussman, J., 1986. *An interduction to the rock – forming minerals*, 17<sup>th</sup> ed., Longman, 528 p.
- Dobosi, G. and Horváth, I., 1988. High- and low-pressure cognate clinopyroxenes from alkali lamprophyres of the Velence and Buda Mountains. *Neues Jahrbuch Fur Mineralogie-Abhandlungen*, v. 158, p. 2-412.
- Droop, G.T.R., 1987. A general equation for estimating  $Fe^{3+}$  in ferromagnesian silicates and oxides from microprobe analysis, using stoichiometric criteria. *Mineralogical Magazine*, v. 51, p. 431-437.
- Droop, G.T.R., 1987. A general equation for estimating  $Fe^{3+}$  in ferromagnesian silicates and oxides from microprobe analysis, using stoichiometric criteria. *Mineralogical Magazine*, v. 51, p. 431-437.
- Helz, R.T., 1973. Phase relations of basalts in their melting range at  $PH_2O=5$  kb as a function of oxygen fugacity. *Journal of Petrology*, v. 17. P. 139-193.
- Hoskin, P.W.O., Arslan, M. and Aslan, Z., 1998. Clinopyroxene phenocryst formation in an alkaline magma: Interpretations from oscillatory zoning. Goldschmidt Conference, *Mineralogical Magazine Abstracts*, v. 62, p. 653-654.
- Kheirkhah, M., Allen, M.B. and Emami, M., 2009. Quaternary syn-collision magmatism from the Iran/Turkey borderlands. *Journal of Volcanology and Geothermal Research* v. 182, p. 1-12.
- Kheirkhah, M. and Aghaali, E., 2018. Petrographical investigation of the prismatic columns rocks in the North of Zanjan (NW Iran).2th Trigger International Conference, Tehran, Iran.
- Kress, V.C. and Carmichael, I.S.E., 1988. Stoichiometry of the iron oxidation reaction in silicate melts. *American Mineralogy*, v. 73, p. 1267-1274.
- Kretz, R., 1994. *Metamorphic Crystallization*. John Wiley and Sons, Chichester and New York.
- Lebas, N.J., 1962. the role of aluminous in igneous clinopyroxenes with relation to their parentage. *American Journal of Science*, v. 260, p. 267-288.
- Leterrier, J., Maury, R.C., Thonon, P., Girard, D. and Marchal, M., 1982. Clinopyroxene Composition as a Method of Identification of the Magmatic Affinities of Paleo-Volcanic Series. *Earth and Planetary Science Letters*, v. 59, p. 139-154.
- Morimoto, N., Fabrise, J., Ferguson, A., Ginzburg, I.V., Ross, M., Seifert, F.A., Zussman, J., Akoi, K.I. and Gottardi, G.,

1988. Nomenclature of pyroxenes. *Mineralogical Magazine*, v. 52, p. 535-55.
- Nimis, P. and Taylor, W.R., 2000. Single clinopyroxene Thermobarometry for garnet peridotites. Part I. Calibration and testing of the Cr-in-Cpx barometer and an enstite-in-Cpx thermometer. *Contributions to Mineralogy and Petrology*, v. 139, p. 541-554.
- Nelson, S.T. and Montana, A., 1992. Sieved Textured Plagioclase in Volcanic Rocks Produced by Rapid Decompression. *American Mineralogist*, v. 77, p. 1242-1249.
- Nosova, A.A., Sazonova, L.V., Narkisova, V.V. and Simakin, S.G., 2002. Minor elements in clinopyroxene from Paleozoic volcanics of the Tagil Island arc in the Central Urals. *Geochemistry International*, v. 40, p. 219-232.
- Nisbet, E.G. and Pearce, J.A., 1997. Clinopyroxene composition of mafic lavas from different tectonic settings. *Contributions to Mineralogy and Petrology*, v. 63, p. 161-173.
- Nosova, A.A., Sazonova, L.V., Narkisova, V.V. and Simakin, S.G., 2002. Minor elements in clinopyroxene from Paleozoic volcanics of the Tagil island arc in the Central Urals. *Geochemistry International*, v. 40, p. 219-232.
- Papike, J.J., Cameron, K.L. and Baldwin, K., 1974 Amphiboles and pyroxenes: characterization of other than quadrilateral components and estimates of ferric iron from microprobe data. *Geology Society of America*, v. 6, p. 1053-1054.
- Putirka, K.D., 2008. Thermometers and barometers for volcanic systems. *Reviews in Mineralogy and Geochemistry*, v. 69, p. 61-120.
- Ridolfi, F., Renzulli, A. and Puerini, M., 2010. Stability and chemical equilibrium of amphibole in calc-alkaline magmas: an overview, new thermobarometric formulations and application to subduction-related volcanoes. *Contribution to Mineralogy and Petrology*, v. 160, p. 45-66.
- Schweitzer, E.L., Papike, J.J. and Bence, A.E., 1979. Statistical analysis of clinopyroxenes from deep-sea basalts *American Mineralogist*, v. 64, p. 501-513.
- Soesoo, A., 1997. a multivariate statistical analysis of clinopyroxene composition: empirical coordinates for the crystallization PT-estimations. *Geological Society of Sweden (Geologiska Föreningen)*, v. 119, p. 55-60.
- Verdel, C., Wernicke, B.P., Hassanzadeh, J. and Guest, B., 2011. A Paleogene extensional arc flare-up in Iran. *Tectonics* 30:TC3008.
- Vincent, S.J., Allen, M.B., Ismail-Zadeh, A.D., Flecker, R., Foland, K.A. and Simmons, M.D., 2005. Insights from the Talysh of Azerbaijan into the Paleogene evolution of the south Caspian region. *Geological Society of America Bulletin*, v. 117, p. 1513-1533. <http://dx.doi.org/10.1130/B25690.1>.
- Wass, S.Y., 1979. Multiple origins of clinopyroxenes in alkali basaltic rocks. *Lithos* v. 12, p. 115-132.
- Whitney, D.L. and Evans, B.W., 2010. Abbreviations for names of rock-forming minerals, *American Mineralogist*, v. 95, p. 185-187.
- Zhu, Y. and Ogasawara, Y., 2004. Clinopyroxene phenocrysts (with green salite cores) in trachybasalts: implications for two magma chambers under the Kokchetav UHP massif, North Kazakhstan. *Journal of Asian Earth Sciences*, v. 22, p. 517-527.